

## ① Etude de l'équilibre d'une corde suspendue en deux points

1. Le tronçon est soumis à : son poids  $\mu ds \vec{g}$   
 la tension  $\vec{T}(s+ds)$  à son extrémité droite  
 la tension  $-\vec{T}(s)$  à son extrémité gauche

$$\text{Équilibre: } \vec{0} = \mu ds \vec{g} + \vec{T}(s+ds) - \vec{T}(s)$$

$$\text{Selon } O_x: 0 = T(s+ds) \cos\alpha(s+ds) - T(s) \cos\alpha(s)$$

$$0 = \frac{d}{ds} (T(s) \cos\alpha(s)) \cdot ds$$

$$\Rightarrow T(s) \cos\alpha(s) = \text{constante} = A \quad \text{donc: } T(s) = \boxed{\frac{A}{\cos\alpha(s)}}$$

$$2. \text{ Selon } O_y: 0 = -\mu ds g + T(s+ds) \sin\alpha(s+ds) - T(s) \sin\alpha(s)$$

$$= -\mu ds g + \frac{d}{ds} (T(s) \sin\alpha(s)) ds \quad \text{donc: } \boxed{\frac{d}{ds} (T(s) \sin\alpha(s)) = \mu g}$$

$$3. \text{ On en déduit: } T(s) \sin\alpha(s) = \mu g s + K \quad K: \text{constante}$$

$$\text{puis: } A \tan\alpha(s) = \mu g s + K$$

$$\text{en B: } s=L \quad \text{donc: } A \tan\alpha_B = \mu g L + K$$

$$\text{en A: } s=0 \text{ et } \alpha_A = -\alpha_B \quad \text{donc: } -A \tan\alpha_B = K \quad \left. \begin{array}{l} \\ \end{array} \right\} \Rightarrow \boxed{A = \frac{\mu g L}{2 \tan\alpha_B}}$$

$$4. \text{ On a donc: } \tan\alpha(s) = \frac{\mu g}{A} s - \tan\alpha_B \quad \text{avec: } \frac{\mu g}{A} = \frac{2 \tan\alpha_B}{L}$$

$$\text{Or: } \tan\alpha(s) = \frac{dy}{dx} = f'(x) \quad \text{donc: } f'(x) = \frac{2 \tan\alpha_B}{L} s - \tan\alpha_B$$

$$\text{On dérive par rapport à } x: f''(x) = \frac{2 \tan\alpha_B}{L} \frac{ds}{dx}$$

$$\text{Et } \frac{ds}{dx} = \sqrt{1+f'(x)^2} \quad \text{donc: } \boxed{f''(x) = \frac{2 \tan\alpha_B}{L} \sqrt{1+f'(x)^2}} \quad f_2 = \frac{2 \tan\alpha_B}{L}$$

$$5. \quad \left. \begin{array}{l} f(a) = 0 \Rightarrow \frac{1}{h} \cosh[h(a-b)] + c = 0 \\ f(-a) = 0 \Rightarrow \frac{1}{h} \cosh[h(-a-b)] + c = 0 \end{array} \right\} \Rightarrow \cosh[h(a-b)] = \cosh[h(-a-b)]$$

$$\text{On en déduit: } h(a-b) = h(-a-b) \quad \text{ou} \quad h(a-b) = -h(-a-b)$$

$$\downarrow \quad \quad \quad \text{ou} \quad \quad \quad \downarrow$$

$$\text{On a } a \neq 0 \text{ donc forcément: } b=0 \quad \text{et} \quad c = -\frac{1}{h} \cosh(ha)$$

$$\text{Donc: } \boxed{f(x) = \frac{1}{h} [\cosh[hx] - \cosh[ha]]}$$

6. La forme de la corde ne peut dépendre que de sa longueur L et des points de fixation  $\Rightarrow$  b dépend de L et a

$$7. \text{ On a: } L = \int_A^B ds = \int_A^B \frac{ds}{dx} dx \Rightarrow L = \int_{-a}^a \sqrt{1 + f'(x)^2} dx$$

Cette relation permet de calculer  $k$

8. On cherche l'intersection de la courbe  $\sinh(K)$  avec la droite  $qK$  (pente  $q = \frac{L}{2a} = 3,3$ )

$$\text{On trouve: } K = 2,9 \Rightarrow k = \frac{K}{a} \Rightarrow k \approx 10^2 \text{ m}^{-1}$$

9. Le poids est la seule force conservative appliquée à la corde. Donc  $\phi$  est l'énergie potentielle de pesanteur.

10. Le segment de corde de longueur  $ds$  a pour énergie potentielle de pesanteur:  $dE_p = \mu g ds f(x)$

$$\text{Donc: } E_p = \int_A^B \mu g ds f(x) = \int_A^B \mu g \frac{ds}{dx} dx f(x) \Rightarrow E_p = \int_{-a}^a \mu g f(x) \sqrt{1 + f'(x)^2} dx$$

11. On donne à la corde différentes formes mais sa longueur doit rester constante.  
La condition (C) est celle de la question 7:

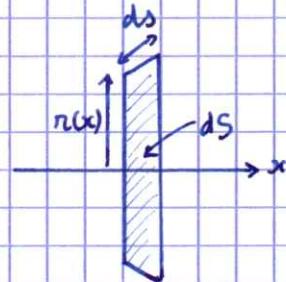
$$(C): L = \int_{-a}^a \sqrt{1 + f'(x)^2} dx = \text{conste}$$

12. L'intégrale de l'énergie potentielle  $E_p$  est identique à l'intégrale (4) en remplaçant  $f(x)$  par  $f(x) - c$ . La condition (C) permet donc de faire apparaître la constante  $c$  dans la forme d'équilibre  $f(x)$

13.  $E_g = \gamma S$  où  $S$  est la surface du film d'eau savonneuse.

$$dS = 2\pi r(x) ds = 2\pi r(x) \frac{ds}{dx} dx = 2\pi r(x) \sqrt{1 + r'(x)^2} dx$$

$$\text{donc: } E_g = 2\pi \gamma \int_{-a}^a r(x) \sqrt{1 + r'(x)^2} dx$$



14. Analogies:  $E_g \leftrightarrow E_p ; 2\pi \gamma \leftrightarrow \mu g ; r(x) \leftrightarrow f(x)$

Differences:  $r(x) > 0 / f(x) < 0 \quad r(\pm a) = R / f(\pm a) = 0$

• Pour la corde on a la contrainte  $L = \text{conste}$  due au caractère inextensible de la corde. Pour le film d'eau il n'y a pas de contrainte similaire: sa longueur  $L$  peut varier en fonction de l'épaisseur du film.

15. L'analogie  $r(x) \leftrightarrow f(x)$  permet d'écrire  $r(x)$  sous la forme d'un  $\cosh(v)$

16. L'absence de condition analogue à (C) pour le film d'eau savonneuse impose:  $c=0$

17. Condition aux limites:  $R = R_0 \cosh\left(\frac{a}{R_0}\right) \Rightarrow \frac{R}{a} \cdot \frac{a}{R_0} = \cosh\left(\frac{a}{R_0}\right) \Rightarrow s \cdot v = \cosh(v)$

On cherche l'intersection de  $\cosh(v)$  avec la droite  $s \cdot v$  où  $s = \frac{R}{a} = 2$

$$\Rightarrow v = 0,6 \Rightarrow R_0 = \frac{a}{v} = \frac{1}{0,6} \quad R_0 = 1,7 \text{ cm} \quad (\text{il y a une autre solution pour } v = 2,5 \Rightarrow R_0 = 5 \text{ mm mais la surface n'est pas minimale})$$

18. Le cas limite à partir duquel il n'y aura plus d'intersection correspond à la droite  $s \cdot v$  tangente à  $\cosh(v)$   $\Rightarrow$  pente  $s_c = \frac{1,8}{1,2} = 1,5 \Rightarrow a_c = \frac{R}{s_c} = 1,3 \text{ cm}$

$$\text{On a alors: } R_{oc} = \frac{a_c}{1,2} = 1,1 \text{ cm}$$

## ② Propagation d'ondes transverses le long d'une corde pendante

 19.  $a \ll \lambda$ 

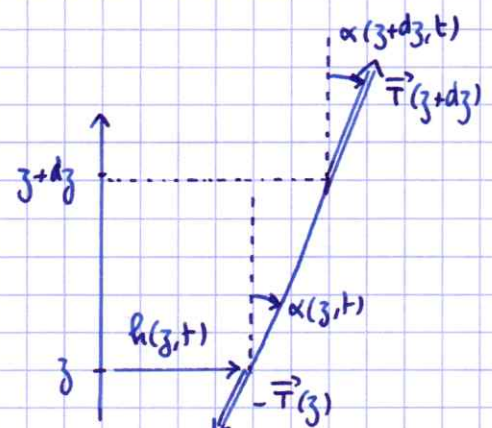
 20. Système : La partie  $[0, z]$  de corde de masse  $\mu z$ 

 Actions : - poids  $-\mu z g \vec{u}_z$ 

 - tension exercée en M par la partie  $[z, L]$  :  $T(z) \vec{u}_z$ 

 A l'équilibre :  $T(z) = \mu z g$ 

 21. Système : l'élément de corde entre  $z$  et  $z + dz$  de masse  $\mu dz$ 

 Actions : - poids  $-\mu dz g \vec{u}_z$   
 - tension en haut :  $\vec{T}(z + dz)$   
 - tension en bas :  $-\vec{T}(z)$ 

 Loi de la quantité de mouvement :  $dma = \vec{T}(z + dz) - \vec{T}(z) + dm\vec{g}$ 

$$\text{Selon Oy : } \mu dz \frac{\partial^2 h}{\partial t^2}(z, t) = T(z + dz) \sin \alpha(z + dz, t) - T(z) \sin \alpha(z, t)$$

$$= \frac{\partial}{\partial z} (T(z) \sin \alpha(z, t)) dz$$

 Pour de petites déformations :  $\sin \alpha \approx \alpha \approx \tan \alpha = \frac{\partial h}{\partial z}$ 

$$\text{D'où : } \mu \frac{\partial^2 h}{\partial t^2}(z, t) = \frac{\partial}{\partial z} (T(z) \frac{\partial h}{\partial z}(z, t))$$

$$22. \text{ On a : } \mu \frac{\partial^2 h}{\partial t^2} = T \frac{\partial^2 h}{\partial z^2} + \frac{\partial T}{\partial z} \cdot \frac{\partial h}{\partial z} = T \frac{\partial^2 h}{\partial z^2} + \mu g \frac{\partial h}{\partial z}$$

$$\text{On évalue : } \frac{\left| \mu g \frac{\partial h}{\partial z} \right|}{\left| T \frac{\partial^2 h}{\partial z^2} \right|} \sim \frac{\mu g \frac{a}{\lambda}}{\mu g L \cdot \frac{a}{\lambda^2}} = \frac{\lambda}{L}$$

 On pourra négliger le terme en  $\mu g \frac{\partial h}{\partial z}$  devant le terme  $T \frac{\partial^2 h}{\partial z^2}$  si :

 $\lambda \ll L$ 

$$23. \text{ On a : } \frac{\partial^2 h}{\partial t^2} = \frac{\partial^2 H}{\partial z^2}$$

$$\bullet \frac{\partial h}{\partial z} = \frac{\partial H(z, t)}{\partial z} = \frac{\partial H}{\partial z} \cdot \frac{dz}{dz} = \frac{\partial H}{\partial z} \cdot \frac{1}{z \sqrt{Lz}} = \frac{\partial H}{\partial z} \cdot \frac{1}{2Lz}$$

$$\bullet \frac{\partial^2 h}{\partial z^2} = \frac{\partial}{\partial z} \left( \frac{\partial h}{\partial z} \right) = \frac{\partial}{\partial z} \left( \frac{\partial H}{\partial z} \cdot \frac{1}{2Lz} \right) = \frac{\partial}{\partial z} \left( \frac{\partial H}{\partial z} \cdot \frac{1}{2Lz} \right) \cdot \frac{dz}{dz} = \frac{\partial}{\partial z} \left( \frac{\partial H}{\partial z} \cdot \frac{1}{2Lz} \right) \cdot \frac{1}{2Lz}$$

$$= \left( \frac{1}{2Lz} \frac{\partial^2 H}{\partial z^2} + \frac{\partial H}{\partial z} \left( -\frac{1}{2Lz^2} \right) \right) \cdot \frac{1}{2Lz} = \frac{1}{4L^2 z^2} \frac{\partial^2 H}{\partial z^2} - \frac{1}{4L^2 z^3} \frac{\partial H}{\partial z}$$

L'équation:  $\mu \frac{\partial^2 h}{\partial t^2} = T \frac{\partial^2 h}{\partial z^2} = \mu g \frac{\partial^2 h}{\partial z^2}$  devient (avec  $z = LZ^2$ ):

$$\mu \frac{\partial^2 H}{\partial t^2} = \mu g \cdot LZ^2 \left[ \frac{1}{4L^2 Z^2} \frac{\partial^2 H}{\partial z^2} - \frac{1}{4L^2 Z^3} \frac{\partial H}{\partial z} \right]$$

d'où:  $\frac{\partial^2 H}{\partial t^2} = \frac{g}{4L} \frac{\partial^2 H}{\partial z^2} - \frac{g}{4LZ} \frac{\partial H}{\partial z}$

24. On évalue:  $\frac{\left| \frac{g}{4LZ} \frac{\partial H}{\partial z} \right|}{\left| \frac{g}{4L} \frac{\partial^2 H}{\partial z^2} \right|} = \frac{\left| \frac{\partial H}{\partial z} \right|}{\left| Z \frac{\partial^2 H}{\partial z^2} \right|} \sim \frac{\frac{a}{\sqrt{\lambda}}}{1 \cdot \frac{a}{(\sqrt{\lambda})^2}}$  en prenant:  $Z \approx 1$ ,  $dZ \approx \sqrt{\frac{\lambda}{L}}$ ;  $dH \approx a$   
 $= \sqrt{\frac{\lambda}{L}}$

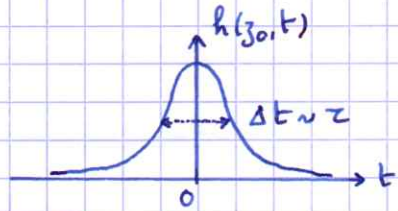
On pourra négliger le terme en  $\frac{\partial H}{\partial z}$  si:  $\lambda \ll L$

On a alors:  $\frac{\partial^2 H}{\partial t^2} = \frac{g}{4L} \frac{\partial^2 H}{\partial z^2}$  d'où:  $c_0 = \frac{1}{2} \sqrt{\frac{g}{L}}$

25. A.N.:  $c_0 = 1,6 \text{ s}^{-1}$

26.  $h(z_0, t)$  est une gaussienne dont la largeur temporelle est de l'ordre de  $\tau$ .

⇒ extension "spatiale" en variable  $Z$ :  $c_0 Z$   
 ⇒ extension spatiale en variable  $z = LZ^2$ :



$$\lambda = L(c_0 Z)^2$$

Puisque  $c_0 Z \ll 1$ , on a bien  $\lambda \ll L$

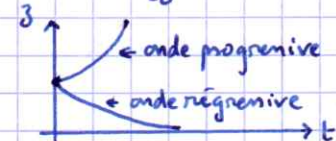
27. Onde progressive: ce que l'on voit en  $Z > t$  = ce qu'il y avait en  $Z_0$  à  $t - \frac{Z-Z_0}{c_0}$  ( $Z > Z_0$ )

$$\Rightarrow H(Z, t) = H(Z_0, t - \frac{Z-Z_0}{c_0}) = h(z_0, t - \frac{\sqrt{3} - \sqrt{3}_0}{\sqrt{L c_0}})$$

donc:  $h^+(z, t) = a e^{-(t - \frac{\sqrt{3} - \sqrt{3}_0}{\sqrt{L c_0}})^2 / \tau^2}$

Onde régressive: ce que l'on voit en  $Z < t$  = ce qu'il y avait en  $Z_0$  à  $t - \frac{Z_0 - Z}{c_0}$  ( $Z < Z_0$ )

donc:  $h^-(z, t) = a e^{-(t - \frac{\sqrt{3}_0 - \sqrt{3}}{\sqrt{L c_0}})^2 / \tau^2}$



28. Le maxima de  $h^+(z, t)$  est obtenu pour:  $t - \frac{\sqrt{3} - \sqrt{3}_0}{\sqrt{L c_0}} = 0 \Rightarrow z_{mm} = (\sqrt{3}_0 + \sqrt{L c_0} t)^2$

Sur la figure 7 les courbes ont bien l'air de varier en  $t^2$ . L'onde progressive atteint le haut de la corde à  $t = 0,2 \text{ s}$  puis se propage ensuite vers le bas après s'être réfléchie.

De même pour l'onde régressive:  $z_{mm} = (\sqrt{3}_0 - \sqrt{L c_0} t)^2$ . Le bas de la corde est atteint en  $0,4 \text{ s}$ .

29.  $H(Z, t)$  varie en  $t \pm \frac{Z-Z_0}{c_0}$  ⇒ les courbes sont linéaires sur la figure 8

30.  $\Delta Z = 1 - 0,7 = 0,3$  est parcouru en  $\Delta t = 0,2 \text{ s} \Rightarrow c_0 = \frac{0,3}{0,2} = \underline{1,5 \text{ s}^{-1}}$

C'est à peu près égal à la valeur théorique.

### 3. Propagation d'une onde transverse le long d'une corde en défillement

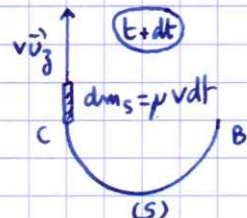
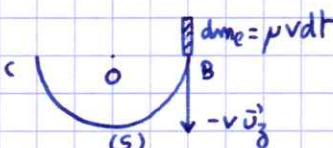
31. Système ouvert ( $S$ ): la corde entre  $C$  et  $B$

$$\text{Système fermé } (S^*) = (S)_t + \text{dm}_{\text{ne}}$$

$$= (S)_{t+dt} + \text{dm}_{\text{ns}}$$

R galiléen

(1)



Loi de la quantité de mouvement à  $(S^*)$ :  $\frac{d\vec{P}(S^*)}{dt} = \vec{T}(B) + \vec{T}(C) - \mu \pi R g \vec{u}_3$

$$\begin{aligned} \frac{d\vec{P}(S^*)}{dt} &= \frac{\vec{P}_{(S^*)}(t+dt) - \vec{P}_{(S^*)}(t)}{dt} = \frac{\vec{P}_{(S)}(t+dt) + \vec{P}_{\text{dm}_n} - \vec{P}_{(S)}(t) - \vec{P}_{\text{dm}_e}}{dt} \quad (\vec{P}_{(S)}(t+dt) = \vec{P}_{(S)}(t) \text{ car régime stationnaire}) \\ &= \frac{\text{dm}_n \vec{v} - \text{dm}_e(-\vec{v})}{dt} = \frac{2 \text{dm}_n \vec{v}}{dt} = 2 \mu v^2 \vec{u}_3 \end{aligned}$$

Loi de la quantité de mouvement selon  $Oz$ :  $2\mu v^2 = T_B + T_C - \mu \pi R g$

$$\Rightarrow T_B + T_C = 2\mu v^2 + \mu \pi R g$$

Loi du moment cinétique en  $O$  à  $(S^*)$ :  $\frac{d\vec{L}(S^*)(O)}{dt} = \vec{m}\vec{T}(B)(O) + \vec{m}\vec{T}(C)(O) + \vec{m}_{\text{poids}}(O)$

$$\cdot \vec{m}\vec{T}(C)(O) = \vec{OC} \wedge \vec{T}(C) = -R \vec{u}_y \wedge T_C \vec{u}_3 = -RT_C \vec{u}_x$$

$$\cdot \vec{m}\vec{T}(B)(O) = \vec{OB} \wedge \vec{T}(B) = R \vec{u}_y \wedge T_B \vec{u}_3 = RT_B \vec{u}_x$$

$$\cdot \vec{m}_{\text{poids}}(O) = \vec{OG} \wedge (-\mu \pi R g \vec{u}_3) = \vec{0} \text{ car } \vec{OG} \perp \vec{u}_3$$

$$\cdot \frac{d\vec{L}(S^*)(O)}{dt} = \frac{\vec{L}_{\text{dm}_n}(O) - \vec{L}_{\text{dm}_e}(O)}{dt} \text{ or: } \vec{L}_{\text{dm}_n}(O) = \vec{OC} \wedge \text{dm}_n \vec{v}$$

$$\vec{L}_{\text{dm}_e}(O) = \vec{OB} \wedge \text{dm}_e(-\vec{v}) = -\vec{OC} \wedge \text{dm}_e(-\vec{v}) = \vec{OC} \wedge \text{dm}_e(\vec{v}) = \vec{L}_{\text{dm}_e}(O)$$

$$\text{donc: } 0 = R(T_B - T_C) \Rightarrow T_B = T_C$$

$$\text{On en déduit: } 2T_B = 2\mu v^2 + \mu \pi R g \Rightarrow T_B \approx \mu v^2 \quad \text{si } v^2 \gg Rg$$

32. La célérité  $c(z) = \sqrt{\frac{T_m}{\mu}}$  est mesurée dans le référentiel où la corde n'a pas de mouvement de défillement selon  $Oz$ .

Dans le référentiel  $R$  lié au laboratoire, la loi de composition des vitesses fait intervenir la vitesse d'entraînement:  $\vec{v}_e = v \vec{u}_3$  ou  $\vec{v}_e = -v \vec{u}_3$  selon le sens de propagation de l'onde par rapport au sens de défillement de la corde

$$\text{donc: } c^+(z) = \sqrt{\frac{T_m}{\mu}} + v \quad \text{pour une onde qui va dans le même sens que la corde}$$

$$c^-(z) = \sqrt{\frac{T_m}{\mu}} - v \quad \text{pour une onde qui va dans le sens opposé à celui de la corde}$$

Evaluation de  $T_m$ : pour le fil MB on a:  $0 = T(M) - T_B - \mu g z$

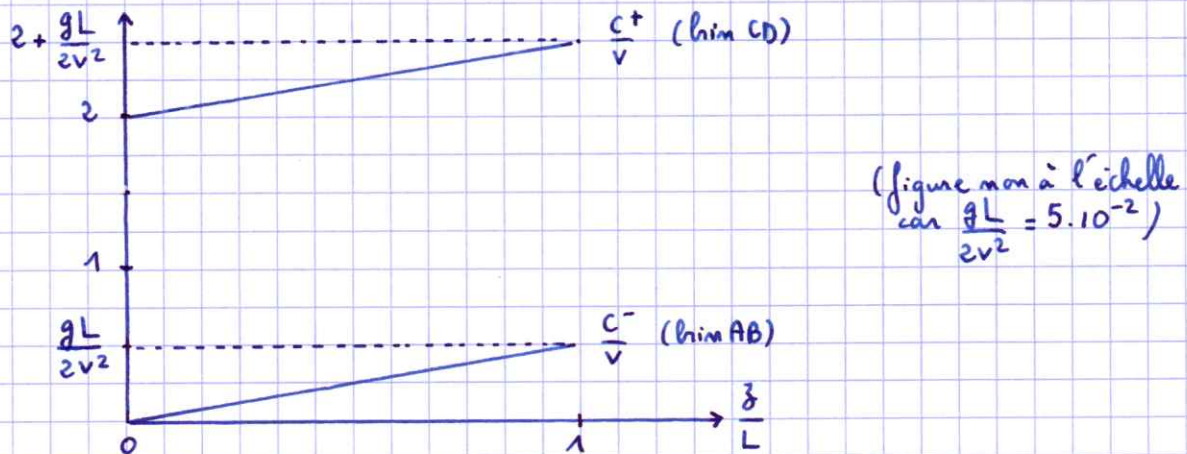
$$\Rightarrow T(M) = \mu v^2 + \mu g z = \mu(v^2 + gz)$$

$$\text{donc: } c^+(z) = \sqrt{v^2 + g\bar{z}} + v$$

$$c^-(z) = \sqrt{v^2 + g\bar{z}} - v$$

$$\begin{aligned} \text{On a: } \frac{c^+}{v} &= \sqrt{1 + \frac{g\bar{z}}{v^2}} + 1 & \frac{c^-}{v} &= \sqrt{1 + \frac{g\bar{z}}{v^2}} - 1 \\ &= \sqrt{1 + \frac{gL}{v^2} \cdot \frac{\bar{z}}{L}} + 1 & &= \sqrt{1 + \frac{gL}{v^2} \cdot \frac{\bar{z}}{L}} - 1 \\ &\approx 1 + \frac{gL}{2v^2} \cdot \frac{\bar{z}}{L} + 1 & &\approx 1 + \frac{gL}{2v^2} \cdot \frac{\bar{z}}{L} - 1 \\ &\approx 2 + \frac{gL}{2v^2} \cdot \frac{\bar{z}}{L} & &\approx \frac{gL}{2v^2} \cdot \frac{\bar{z}}{L} \end{aligned}$$

$$\text{On: } \frac{gL}{v^2} = \frac{10}{100} = 0,1 \ll 1$$



33.

